



## Phylogenetic Analysis of Three Isolates of Grapevine leafroll-associated virus 1 (GLRaV-1) from Vineyards in Khorasan Razavi Province Based on The Nucleotide Sequence of a Portion of The Minor Capsid Protein 2 (Cpm2)

S. Gharouni-Kardani<sup>1\*</sup>, M.R. Karimi Shahri<sup>1</sup>, F. Azad Disfani<sup>1</sup>, S. Pakbaz<sup>2</sup>

1- Plant Protection Research Department, Khorasan Razavi Agricultural and Natural Resources Research and Education Center, AREEO, Mashhad, Iran

2- Department of Plant Protection, Faculty of Agriculture, Lorestan University, Khorramabad, Iran

(\*- Corresponding author's Email: [s.gharooni@areeo.ac.ir](mailto:s.gharooni@areeo.ac.ir))

### How to cite this article:

Received: 22-09-2024  
Revised: 12-11-2024  
Accepted: 10-12-2024  
Available Online: 03-03-2025

Gharouni-Kardani, S., Karimi Shahri, M.R., Azad Disfani, F., & Pakbaz, S. (2025). Phylogenetic analysis of three isolates of grapevine leafroll-associated virus 1 (GLRaV-1) from vineyards in Khorasan Razavi province based on the nucleotide sequence of a portion of the minor capsid protein 2 (Cpm2). *Iranian Plant Protection Research*, 38(4), 361-371. (In Persian with English abstract). <https://doi.org/10.22067/jpp.2024.89928.1204>

### Introduction

Grapevines, as a vital agricultural product, face significant challenges from pests and diseases that adversely affect both quality and quantity of the crop. Among these, viruses are particularly detrimental, with 86 different species identified in grapevines. The viruses associated with grapevine leafroll disease (GLD) are considered the most prevalent in vineyards. Specifically, six species of grapevine leafroll-associated viruses (GLRaVs), belonging to the family *Closteroviridae*, are linked to this disease. These viruses typically enter vineyards through infected cuttings and are disseminated by vectors, notably mealybugs. The symptoms of GLD manifest as downward rolling of leaf margins, leaf interveinal reddening, and leaf interveinal chlorosis across various grapevine varieties. These symptoms negatively impact the quality of the berries, ultimately affecting yield and marketability. The GLRaV-1 genome is composed of positive-strand RNA and contains ten open reading frames (ORFs), which play crucial roles in its biology and pathogenicity. In Iran, GLRaV-1 has been identified as one of the most widespread grapevine viruses, exhibiting high genetic diversity that complicates management and control efforts. This study focuses on the identification of GLRaV-1 and the phylogenetic analysis of its isolates in the vineyards of Razavi Khorasan province. By understanding the genetic relationships and variability of GLRaV-1 isolates, this research aims to provide insights which could be useful for designing effective management strategies and improving the overall health of grapevine in the region.

### Materials and Methods

In the spring of 2020, a study was conducted in the Kashmar region of Khorasan Razavi province, focusing



©2024 The author(s). This is an open access article distributed under [Creative Commons Attribution 4.0 International License \(CC BY 4.0\)](https://creativecommons.org/licenses/by/4.0/), which permits use, sharing, adaptation, distribution and reproduction in any medium or format, as long as you give appropriate credit to the original author(s) and the source.

<https://doi.org/10.22067/jpp.2024.89928.1204>

on grapevine plants exhibiting distinct symptoms of viral infection. A total of 70 samples were collected from affected plants. The RNA was extracted from these samples to facilitate the detection of grapevine leafroll-associated virus 1 (GLRaV-1). The initial identification process involved reverse transcription-polymerase chain reaction (RT-PCR). This method confirmed the presence of GLRaV-1 in 22 samples, marking a crucial step in understanding the viral infection's prevalence. To ensure the accuracy of the RT-PCR results, Sanger sequencing was used on the amplified fragments from three selected samples. This technique provided definitive confirmation of the viral identity by analyzing the nucleotide sequences, thereby validating the initial findings from the RT-PCR. Data analysis included several critical components. Nucleotide sequence similarity analysis was performed to compare the identified GLRaV-1 isolates against known sequences in databases, assessing their similarity and identifying potential genetic variants. Following this, multiple sequence alignments were conducted using MAFFT software, arranging the sequences to highlight similarities and differences among the isolates. The phylogenetic tree was constructed using the Maximum-Likelihood method with MEGA7 software.

## Results and Discussion

The samples collected from black grape vineyards in Kashmar exhibited mild yellowing and downward rolling of leaf margins, symptoms commonly associated with increased anthocyanin levels in red grape varieties. In samples infected with GLRaV-1, a fragment of the minor capsid protein 2 (Cpm2) gene was successfully amplified, while no such fragments were detected in healthy plants. This indicates the presence of GLRaV-1, a virus recognized as one of the common pathogens affecting grapes across various regions of Iran. The GLRaV-1 is primarily transmitted through vectors or contaminated cuttings, which emphasizes the importance of monitoring and controlling these pathways to prevent outbreaks. Sequence comparisons revealed that nucleotide identity among Iranian isolates ranged from 84.2% to 100%, while identity with GenBank isolates varied between 77.6% and 87.7%. This high level of genetic diversity among the isolates may enhance the virus's adaptability to different grape varieties, posing challenges for management and control. The observed diversity at the genomic level was consistent with previously reported data regarding the sequence divergence between the two GLRaV-1 groups (Alabi *et al.*, 2011; Sabella *et al.*, 2018; Fan *et al.*, 2015). Phylogenetic analysis further demonstrated that Iranian isolates of GLRaV-1 clustered into two main groups, indicating that the phylogenetic relationships are not strictly related to geographical origin. In previous studies, global isolates of GLRaV-1 have also been distinguished into two different groups based on the gene encoding the minor coat protein 2 (Alabi *et al.*, 2011; Elci, 2019). This finding suggests that spread of the virus may occur independently of the location, highlighting the need for comprehensive management strategies. To mitigate the spread of GLRaV-1, the use of virus-free plant materials is essential (Alabi *et al.*, 2011; Bruisson *et al.*, 2017). Genetic diversity of GLRaV-1 significantly influences the epidemiology of grapevine leafroll disease, underscoring the importance of producing virus-free plants. Continued research is crucial to understand the underlying causes and effects of this virus. Additionally, developing more sensitive and specific diagnostic tests, along with new control strategies, is vital for effectively managing GLRaV-1 and safeguarding grapevine health.

**Keywords:** *Ampelovirus univitis*, *Closteroviridae*, Coat protein, Phylogenetic analysis, RT-PCR

مقاله پژوهشی

جلد ۳۸ شماره ۴، زمستان ۱۴۰۳، ص. ۳۶۱-۳۷۱

## واکاوای تبارزائی سه جدایه ویروس همراه با پیچیدگی برگ مو شماره یک (GLRaV-1) از تاکستان‌های استان خراسان رضوی براساس توالی نوکلئوتیدی بخشی از ژن Cpm2

سارا قارونی کاردانی<sup>۱\*</sup> - محمودرضا کریمی شهری<sup>۱</sup> - فاطمه آزاد دیسفانی<sup>۱</sup> - سمیرا پاکباز<sup>۲</sup>

تاریخ دریافت: ۱۴۰۳/۰۷/۰۱

تاریخ بازنگری: ۱۴۰۳/۰۸/۲۲

تاریخ پذیرش: ۱۴۰۳/۰۹/۲۰

### چکیده

انگور (*Vitis vinifera* L.) به‌عنوان یک محصول کشاورزی مهم در جهان، میزبان طیف وسیعی از ویروس‌های گیاهی از جمله ۸۶ گونه ویروس شناخته شده است. یکی از این ویروس‌ها، ویروس همراه با پیچیدگی برگ مو شماره یک ( Grapevine leafroll-associated virus 1 (GLRaV-1) است که به جنس *Ampelovirus* و خانواده *Closteroviridae* تعلق دارد. با توجه به تغییرات اخیر در نام‌گذاری گونه‌های ویروسی، نام این گونه *Ampelovirus univitis* شده است. در این مطالعه در بهار سال ۱۳۹۹، آلودگی به GLRaV-1 در تاکستان‌های شهرستان کاشمر، استان خراسان رضوی مورد بررسی قرار گرفت. علائم مشاهده شده در تاک‌های آلوده شامل زردی خفیف، تاخوردگی حاشیه برگ به پشت و قرمزی پهنک همراه با رگبرگ‌های سبز بود. ۷۰ نمونه از تاک‌های مشکوک به آلودگی جمع‌آوری و مورد آزمایش قرار گرفتند. نتایج نشان داد که ۲۲ نمونه (۳۱/۴ درصد از نمونه‌ها) به ویروس GLRaV-1 آلوده بودند. توالی‌یابی ژن پروتئین پوششی فرعی ۲ (ORF Cpm2) ویروس از سه نمونه انجام شد. توالی‌های به‌دست آمده با توالی‌های موجود در GenBank مقایسه شدند و نتایج نشان داد که توالی نوکلئوتیدی جدایه‌های این مطالعه، شباهت ۸۷/۷ تا ۷۷/۶ درصدی با توالی‌های GLRaV-1 موجود در GenBank داشتند. درخت تبارزایی براساس بخشی از توالی نوکلئوتیدی ژن Cpm2 بازسازی شد. جدایه‌های شمال شرق ایران با جدایه‌های سایر کشورها در یک گروه قرار گرفتند که نشان‌دهنده عدم ارتباط خوشه‌بندی تبارزایی با منشأ جغرافیایی می باشد. این یافته نشان می‌دهد که ویروس GLRaV-1 می‌تواند به‌راحتی در بین مناطق مختلف جغرافیایی جابه‌جا شود و تهدیدی جدی برای تاکستان‌ها در سراسر جهان محسوب می‌شود.

**واژه‌های کلیدی:** *Ampelovirus univitis*، پروتئین پوششی، تحلیل تبارزایی، کلستروویریده، واکنش زنجیره‌ای پلی‌مرز رونویسی معکوس

### مقدمه

و کمیت و کیفیت محصول آن تحت تأثیر قرار می‌گیرد. انگورها میزبان ۸۶ گونه ویروس مختلف هستند که این امر باعث می‌شود که به‌عنوان بزرگ‌ترین میزبان کشت‌شده برای ویروس‌ها شناخته شوند (Al Rwahnih et al., 2021). تنوع ویروس انگور به‌دلیل تکامل همزمان ویروس‌ها با گونه‌های *Vitis* و همچنین تاریخ طولانی اهلی شدن درختچه‌های مو و تجارت جهانی این محصول بالا است (Mannini & Digiario, 2017). بنابراین، بررسی تنوع ژنتیکی، پراکنش و رویدادهای نوترکیب احتمالی این پاتوژن‌ها بسیار مهم است (Panno et al., 2018). در این میان، ویروس‌های مرتبط با بیماری

همانند سایر محصولات، انگور (*Vitis vinifera* L.) نیز توسط آفات و بیماری‌های ناشی از عوامل بیماری‌زا با مختلف تهدید می‌شود

۱- بخش تحقیقات گیاه‌پزشکی، مرکز تحقیقات و آموزش کشاورزی و منابع طبیعی استان خراسان رضوی، سازمان تحقیقات، آموزش و ترویج کشاورزی، مشهد، ایران  
۲- گروه گیاه‌پزشکی، دانشکده کشاورزی، دانشگاه لرستان، خرم‌آباد، ایران  
\* نویسنده مسئول: (Email: s.gharooni@areeo.ac.ir)

گذشته، در ایالات متحده آمریکا (Aoughanem-Sabanadzovic *et al.*, 2015)، نیجریه (Zongoma *et al.*, 2017)، پاکستان (Rasool *et al.*, 2019) و روسیه (Porotikova *et al.*, 2019) نیز گزارش شده است.

ویروس‌های شماره ۱، ۲، ۳، ۴، ۵، ۷ و ۹ GLRaV در چندین مطالعه در مناطق مختلف کشور شامل استان‌های آذربایجان شرقی، آذربایجان غربی، چهارمحال و بختیاری، خراسان رضوی، خراسان شمالی، کهگیلویه و بویراحمد، فارس و قزوین گزارش شده‌اند و GLRaV-1 به‌عنوان غالب‌ترین ویروس شناسایی شده است (Naderpour *et al.*, 2018; Roomi *et al.*, 2006; Gholampour *et al.*, 2024; Pourrahim *et al.*, 2004; Rakhshandehroo *et al.*, 2005). تنوع ژنتیکی بالای درون گونه‌ای در GLRaV-1 گزارش شده است و تا هشت گروه فیلوژنتیکی مجزا برای آن شناسایی شده است (Bruissson *et al.*, 2017). این تنوع ژنتیکی بالا، چالش اساسی برای مهار GLRaV-1 به‌وجود می‌آورد. اطلاعات محدودی در مورد تنوع ژنتیکی GLRaV-1 در ایران دسترس است. طبق آمارنامه کشاورزی سال ۱۴۰۲ (جلد سوم: محصولات باغبانی)، خراسان رضوی رتبه چهارم کشور را در تولید انگور دارا بوده است. از آنجاکه این استان به‌عنوان یکی از مناطق اصلی کشت انگور در ایران شناخته می‌شود، بنابراین نیاز به اطلاعات بیشتر برای شناسایی ویروس‌های انگور به‌خصوص GLRaVs از تاکستان‌های این استان است. هدف از این مطالعه، ردیابی GLRaV-1 از تاکستان‌های استان خراسان رضوی در شمال شرق ایران، توالی‌یابی بخشی از ژن پروتئین پوششی فرعی ۲ (ORF Cpm2) ویروس و نیز تحلیل تبارزائی جدایه‌های مختلف GLRaV-1 بود.

## مواد و روش‌ها

**نمونه‌برداری، استخراج RNA و واکنش زنجیره‌ای پلی‌مرز**  
طی بهار سال ۱۳۹۹ از تاکستان‌های شهرستان کاشمر استان خراسان رضوی از ۷۰ تاک دارای علائم مشکوک به بیماری ویروسی نمونه‌برداری انجام شد. استخراج آر.ان.ای از تراشه‌های پوست سبز ساقه و برگ‌های جوان مو، با استفاده از بافر (Cetyl-) trimethylammonium bromide، CTAB (Gharouni-Kardani *et al.*, Gholampour & Zakiaghl, 2016) انجام شد (2022). از واکنش زنجیره‌ای پلی‌مرز معکوس (RT-PCR) با استفاده از آغازگرهای اختصاصی LEV1-C447 و LQV1-H47 (جدول ۱) ویروس همراه با پیچیدگی برگ مو شماره یک، جهت ردیابی مولکولی ویروس فوق استفاده شد. حجم نهایی واکنش ۲۰ میکرولیتر شامل سه میکرولیتر cDNA، یک میکرولیتر از هر آغازگر و

پیچیدگی برگ انگور (Grapevine leafroll disease, GLD) شایع‌ترین بیماری در تاکستان‌ها شناخته شده‌اند و از اهمیت اقتصادی بالایی در سراسر جهان برخوردار هستند (Meng *et al.*, 2017). شش گونه ویروس همراه با پیچیدگی برگ انگور (GLRaVs) با شماره‌های 1 Grapevine leafroll-associated virus، 2، 3، 4، 7 و 13- شناخته شده‌اند. مجموعه ویروس‌های GLRaVها متعلق به خانواده Closteroviridae و GLRaV-1 متعلق به جنس *Ampelovirus* است (Dolja *et al.*, 2017). ابو غانم-سبانادزوویچ و همکاران (Aoughanem-Sabanadzovic *et al.*, 2017)، تجدید نظر جدیدی در ساختار طبقه‌بندی جنس *Ampelovirus* ارائه کردند. در این بررسی، جنس *Ampelovirus* به دو زیرگروه تقسیم شد: زیرگروه I شامل GLRaV-1، 3 و 13- که دارای ژنوم بزرگ‌تر و ۹ تا ۱۲ فریم خوانش باز (ORF) هستند. زیرگروه II شامل GLRaV-4 و سویه‌های آن مانند 5-، 6-، 9-، Pr و Car- که دارای ژنوم کوچک‌تر و شش ORF هستند. در حال حاضر، ۱۳ گونه در طبقه‌بندی جدید در جنس *Ampelovirus* قرار دارند (ICTV, 2023).

ویروس‌های همراه با پیچیدگی برگ انگور عمدتاً به آوند آبکش محدود می‌شوند و به‌طور پراکنده در گیاهان توزیع می‌شوند (Naidu *et al.*, 2014). از آنجایی که انگورها به‌صورت رویشی تکثیر می‌شوند، این ویروس‌ها معمولاً از طریق قلمه آلوده به تاکستان‌ها وارد می‌شوند و سپس توسط برخی از ناقلین GLRaV مانند شیشک‌های آردآلود (*Hemiptera: Pseudococcidae*) منتشر می‌شوند (Almeida *et al.*, 2013).

عمده علائم بیماری پیچیدگی برگ انگور شامل پیچیدگی حاشیه برگ به سمت پشت برگ، قرمز شدن بین رگبرگی برگ در ارقام انگور قرمز و کلروز بین رگبرگی برگ در ارقام سفید می‌شود. این علائم می‌تواند باعث افت کیفیت و عملکرد حبه‌ها شود و ویژگی‌هایی مانند سطح قند، بلوغ و رنگدانه را به‌شدت تحت تأثیر قرار دهد (Poojari *et al.*, 2017).

ژنوم GLRaV-1 از یک RNA رشته‌ای تک لای مثبت به‌طول تقریبی ۱۸/۷ تا ۱۸/۹ کیلوباز تشکیل شده است که در ذرات رشته‌ای محصور شده است. ژنوم حاوی ۱۰ چارچوب ژنی (ORFs) است که ۱۰ پروتئین هلیکاز (ORF1a)، پلیمرز (ORF1b)، p7 (ORF2)، پروتئین شوک حرارتی (ORF3)، p55 (ORF4)، پروتئین پوششی (ORF5)، پروتئین پوششی فرعی ۱ (ORF6)، پروتئین پوششی فرعی ۲ (ORF7)، p21 (ORF8) و p24 (ORF9) را رمزگذاری می‌کند (Donda *et al.*, 2017).

بیماری GLD به‌طور گسترده در سراسر جهان گسترش دارد و تقریباً در تمام تاکستان‌ها (اروپا، آمریکای شمالی و جنوبی، آسیا، آفریقا و اقیانوسیه) ردیابی شده است (Caruso *et al.*, 2022). در دهه

واسرشته‌سازی، دمای ۵۶ درجه سانتی‌گراد به مدت ۳۰ ثانیه و دمای ۷۲ درجه سانتی‌گراد به مدت ۴۵ ثانیه و در انتها یک مرحله در ۷۲ درجه سانتی‌گراد به مدت ۱۰ دقیقه با استفاده از ترموسایکلر (Bio-Rad MJ Mini Thermal Cycler، USA) انجام شد.

۱۰ میکرولیتر کیت PCR (Denmark, Ampliqon Red Dye ) Master Mix بود. برنامه دمایی واکنش زنجیره‌ای پلی‌مرز شامل یک مرحله در دمای ۹۵ درجه سانتی‌گراد به مدت سه دقیقه و ۳۵ چرخه، شامل دمای ۹۴ درجه سانتی‌گراد به مدت ۳۰ ثانیه در مرحله

جدول ۱- مشخصات آغازگرهای اختصاصی مورد استفاده برای مطالعه GLRaV-1  
Table 1- Characteristics of specific primers used for study of GLRaV-1

| name Primer | Sequence                        | Size | Region                   | Reference                  |
|-------------|---------------------------------|------|--------------------------|----------------------------|
| LQV1-H47    | 5'- GTTACGGCCTTTTGTATTATGG -3'  | 398  | Coat protein duplicate 2 | Roomi <i>et al.</i> , 2006 |
| LEV1-C447   | 5'- CGACCCCTTATTGTTTGAGTATG -3' |      |                          |                            |

(ML) با ۱۰۰۰ تکرار در آزمون بوت‌استرپ انجام شد (Kumar *et al.*, 2016).

### نتایج و بحث

ارقام انگور سیاه جمع‌آوری شده طی بهار سال ۱۳۹۹ از تاکستان‌های شهرستان کاشمر استان خراسان رضوی، دارای علائم زردی خفیف و تاخوردگی حاشیه برگ به پشت و قرمزی پهنک برگ‌ها با رگبرگ‌های سبز بودند (شکل ۱). این علائم خاص ارقام انگور قرمز است (Poojari *et al.*, 2017). ظهور علائم مختلف به علت افزایش غلظت آنتوسیانین در ارقام انگور قرمز می‌باشد، زیرا در ارقام سفید جهش‌های متعددی در مسیر ژن‌های بیوسنتز فلاونوئید رخ می‌دهد (Gutha *et al.*, 2010).

محصول واکنش در ژل آگارز یک درصد حاوی دو میکرولیتر از Green Viewer الکتروفورز و در نهایت با استفاده از دستگاه ژل‌داک (USA, Alphaimager Mini Protein Simple) تصویربرداری شد. تأیید صحت قطعات همانندسازی شده با آغازگر اختصاصی رفت، از طریق تعیین توالی یک طرفه توسط شرکت ماکروژن (Macrogen) کره جنوبی، انجام شد.

### واکاوی داده‌ها

تجزیه و تحلیل شباهت توالی نوکلئوتیدی بین جدایه‌ها با استفاده از نرم‌افزار SDT v1.2 (Muhire *et al.*, 2014) و هم‌ردیف‌سازی چندگانه جدایه‌های این مطالعه و جدایه‌های موجود در GenBank با استفاده از نرم‌افزار MAFFT نسخه هفت انجام شد (Katoh *et al.*, 2019). پس از انتخاب بهترین مدل جایگزینی نوکلئوتیدی در نرم‌افزار MEGA7، رسم درخت تبارزائی به روش Maximum-Likelihood



شکل ۱- علائم ویروسی مشاهده شده در نمونه‌های آلوده به GLRaV-1 در تاکستان‌های استان خراسان رضوی شامل پیچیدگی حاشیه برگ به طرف پایین و قرمزی پهنک برگ‌ها در رقم انگور سیاه آلوده

Figure 1- Viral symptoms including downward rolling of leaf margins, leaf interveinal reddening in red grapevine cultivars in vineyards of Khorasan Razavi infected with GLRaV-1

(Cpm2) ویروس تکثیر گردید، درحالی‌که در گیاه سالم هیچ قطعه‌ای تکثیر نشد. قطعات همانندسازی شده با آغازگرهای اختصاصی که روی

در ۲۲ نمونه آلوده به GLRaV-1 قطعه‌ای به طول ۳۹۸ جفت باز مربوط به بخشی از چارچوب ژنی پروتئین پوششی فرعی ۲ (ORF

جدایه‌های موجود در GenBank نشان داد که همسانی نوکلئوتیدی جدایه‌های ایرانی با یکدیگر ۸۴/۲-۱۰۰ درصد و با جدایه‌های GenBank ۸۷/۷-۷۷/۶ درصد بود (شکل ۴). این نتایج حاکی از وجود تنوع بالایی درون گونه‌ای برای این ویروس است. تنوع مشاهده شده در سطح ژنوم با داده‌های گزارش شده قبلی در مورد فاصله توالی بین دو گروه GLRaV-1 مطابقت داشت (Alabi et al., 2011; Sabella et al., 2018; Fan et al., 2015).

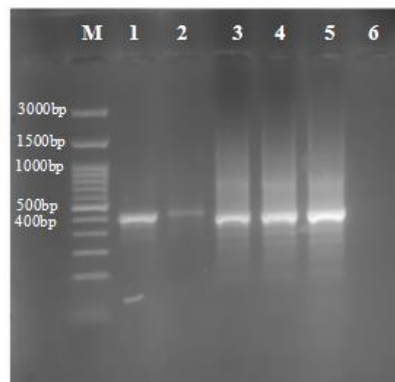
در مطالعات گذشته، جدایه‌های جهانی GLRAV-1 براساس ژن پروتئین پوششی فرعی ۲ به دو گروه متفاوت متمایز شده‌اند (Alabi et al., 2011; Elci, 2019). بررسی تبارزایی توالی کامل جدایه‌های ایرانی GLRAV-1 و جدایه‌های متناظر از بانک ژن، در درخت فیلوژنتیک، جدایه‌های GLRAV-1 در دو شاخه مجزا با پشتیبانی اعتبارسنجی بالا قرار گرفتند (Gholampour et al., 2024).

واکوی ژن‌های مختلف GLRaV-1، تنوع درون و بین گونه‌ای را نشان می‌دهند که نشان‌دهنده فشار انتخاب و رویدادهای نوتریکی احتمالی است (Fan et al., 2015). پیامدهای این تنوع ژنتیکی شامل سازگاری ویروس با ارقام مختلف انگور، تأثیر قلمه و شرایط محیطی بر آلودگی ویروسی و تأثیر آن بر فیزیولوژی انگور، کیفیت میوه و بیان ژنی است (Song et al., 2021). با توجه به عدم ارتباط فیلوگروه‌های GLRAV-1 براساس ارقام مختلف انگور (Gholampour et al., 2024) و عدم گروه‌بندی فیلوژنتیکی مشخص براساس منشأ جغرافیایی (Elci, 2019; Sabella et al., 2018)، تأکید بر استفاده از قلمه‌های عاری از ویروس به منظور جلوگیری از انتشار این ویروس ضروری است (Alabi et al., 2011; Bruisson et al., 2017).

ژل آگارز یک درصد مشاهده شد، تعیین توالی گردید (شکل ۲)، پس از تعیین توالی سه نمونه آلوده منتخب، آلودگی انگورها به ویروس GLRaV-1 تأیید شد. GLRaV-1 یکی از بیمارگرهای ویروسی رایج انگور است که از تمام موکاری‌های دنیا گزارش شده است (Meng et al., 2017). GLRaV-1 پیشتر از تاکستان‌های استان‌های آذربایجان غربی، آذربایجان شرقی، کهگیلویه و بویراحمد، قزوین، فارس، خراسان رضوی، خراسان شمالی و چهارمحال و بختیاری گزارش شده بود (Naderpour et al., 2018; Roomi et al., 2006; Pourrahim et al., 2004; Rakhshandehroo et al., 2005). توالی‌های خام توسط نرم‌افزار MEGA7 ویرایش شد و توالی به دست آمده در ژن‌بانک با رس شماره‌های PP069515، PP069516 و PP069517 ثبت شد (جدول ۲).

نتایج تحلیل تبارزایی بخشی از ژن پروتئین پوششی فرعی ۲ جدایه‌های GLRaV-1 از ایران و ۴۳ جدایه موجود در GenBank (جدول ۲) به دو گروه اصلی منجر شد (شکل ۳) که نشان‌دهنده شیوع گسترده این ویروس و تنوع ژنتیکی بالای آن است. جدایه‌های ایران با جدایه‌های سایر کشورها (شیلی، ژاپن، اسپانیا و روسیه) گروه‌بندی شدند. طبق مطالعات قبلی (Sabella et al., 2018)، به نظر نمی‌رسد که شاخه‌بندی فیلوژنتیک با منشأ جغرافیایی مرتبط باشد. این عدم ارتباط بین شاخه‌بندی فیلوژنتیک و منشأ جغرافیایی نشان می‌دهد که ویروس عمدتاً از طریق تماس با گیاهان آلوده منتقل نمی‌شود، بلکه از راه‌های دیگر مانند ناقلین یا قلمه‌های آلوده منتقل می‌شود (Elci, 2019).

مقایسه توالی سه جدایه GLRaV-1 توالی‌یابی شده به همراه



شکل ۲- الکتروفورز محصول RT-PCR در ژل آگارز یک درصد با جفت آغازگر اختصاصی (LQV1-H47/ LEV1-C447)

راهک‌های ۱ تا ۴: نمونه‌های آلوده به GLRaV-1 جمع‌آوری شده از استان خراسان رضوی. راهک شماره ۵: شاهد مثبت، راهک شماره ۶: شاهد منفی. M: نشانگر مولکولی ۱۰۰ جفت بازی پلاس (سینا کلون، SL7041).

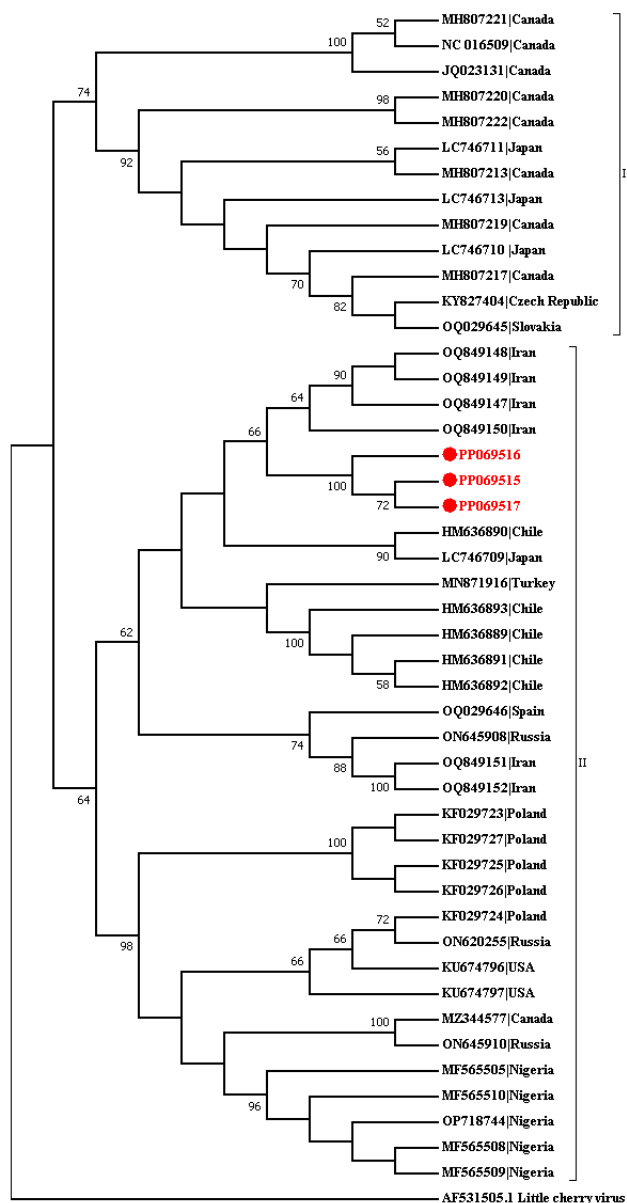
Figure 2- Electrophoresis of the RT-PCR product in 1% agarose gel using specific primers (LQV1-H47/ LEV1-C447)

Lane 1-4: GLRaV-1 infected samples from Khorasan Razavi vineyards, Lane 5: positive control, Lane 6: negative control, M: 100bp DNA ladder plus (Sinaclon, SL7041).

**جدول ۲-** مشخصات جدایه‌های GLRaV-1 مورد استفاده در واکاوی‌های مولکولی در این تحقیق. جدایه‌های توالی‌یابی شده در تحقیق حاضر با علامت \* مشخص شده‌اند. میزبان همه جدایه‌ها *Vitis vinifera* می باشد.

**Table 2-** Characteristics of GLRaV-1 isolates that were used in molecular analyses in this study. The sequenced isolates in this study are showed with \*. The host of all isolates is *Vitis vinifera*

| Accession no. | Origin         |
|---------------|----------------|
| HM636889      | Chile          |
| HM636890      | Chile          |
| HM636891      | Chile          |
| HM636892      | Chile          |
| HM636893      | Chile          |
| JQ023131      | Canada         |
| KF029723      | Poland         |
| KF029724      | Poland         |
| KF029725      | Poland         |
| KF029726      | Poland         |
| KF029727      | Poland         |
| KU674796      | USA            |
| KU674797      | USA            |
| KY827404      | Czech Republic |
| LC746709      | Japan          |
| LC746710      | Japan          |
| LC746711      | Japan          |
| LC746713      | Japan          |
| MF565505      | Nigeria        |
| MF565508      | Nigeria        |
| MF565509      | Nigeria        |
| MF565510      | Nigeria        |
| MH807213      | Canada         |
| MH807217      | Canada         |
| MH807219      | Canada         |
| MH807220      | Canada         |
| MH807221      | Canada         |
| MH807222      | Canada         |
| MN871916      | Turkey         |
| MZ344577      | Canada         |
| NC_016509     | Canada         |
| ON620255      | Russia         |
| ON645908      | Russia         |
| ON645910      | Russia         |
| OP718744      | Nigeria        |
| OQ029645      | Slovakia       |
| OQ029646      | Spain          |
| OQ849147      | Iran           |
| OQ849148      | Iran           |
| OQ849149      | Iran           |
| OQ849150      | Iran           |
| OQ849151      | Iran           |
| OQ849152      | Iran           |
| ** PP069515   | Iran           |
| **PP069516    | Iran           |
| **PP069517    | Iran           |



شکل ۳- درخت تبارزائی جدایه‌های GLRAV-1 براساس توالی‌های نوکلئوتیدی قسمتی از ژن پروتئین پوششی فرعی ۲ (۳۹۸ جفت باز) با استفاده از نرم‌افزار MEGA7 بازسازی شد. مقادیر اعتبارسنجی (۱۰۰۰ تکرار) بر شاخه‌ها نشان داده شده است. مقادیر اعتبارسنجی کمتر از ۵۰ نمایش داده نشده‌اند. جدایه‌های ایرانی GLRAV-1 به رنگ قرمز • نشان داده شده‌اند.

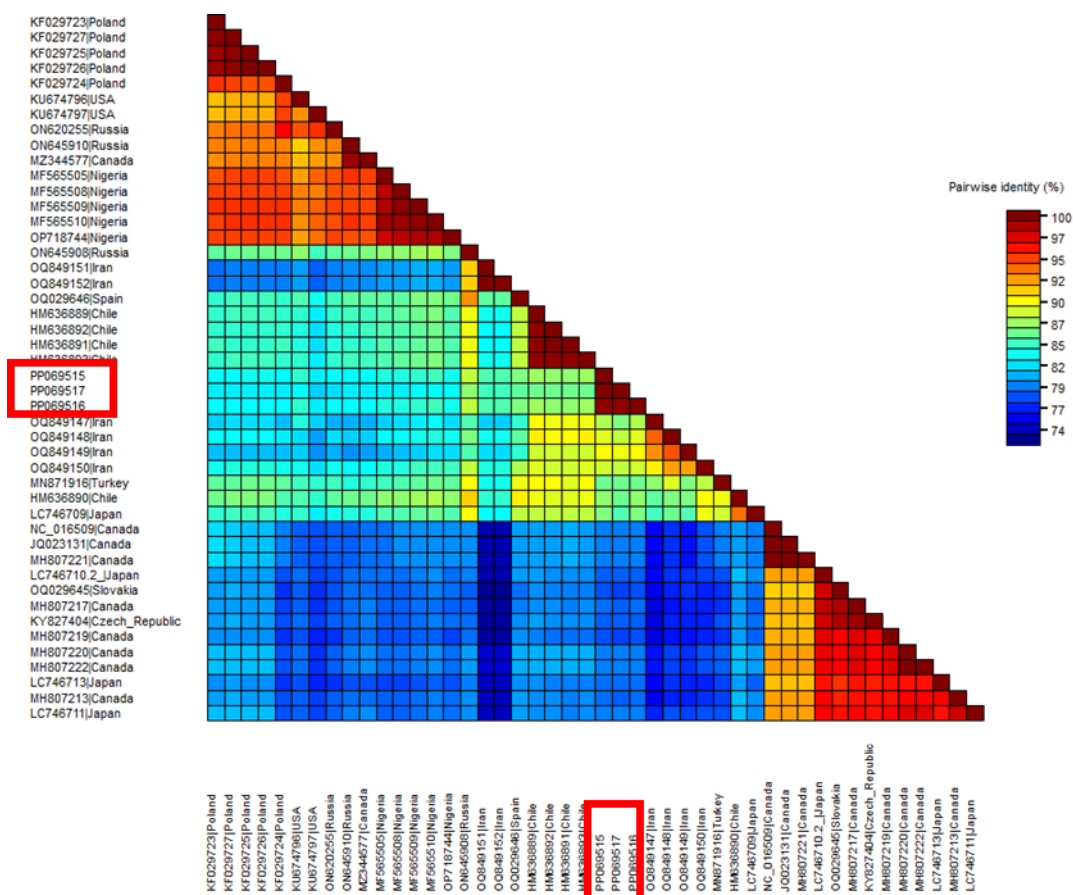
Figure 3- The phylogenetic tree of GLRAV-1 strains was reconstructed based on the nucleotide sequences of a portion of the minor capsid protein 2 gene (398 base pairs) using MEGA7 software. Bootstrap values (1000 replicates) are shown on the branches.

• Bootstrap values less than 50 are not displayed. Iranian GLRAV-1 strains are highlighted in red

انگور وجود دارد. برای تشخیص و مدیریت GLRAV-1 نیاز به راه‌حل‌های مؤثرتر شامل توسعه تست‌های تشخیصی حساس‌تر و اختصاصی‌تر و نیز توسعه راهکارهای کنترلی جدید در برابر تمام جدایه‌های ویروس است.

تنوع ژنتیکی GLRAV-1 نقش حیاتی در همه‌گیری بیماری پیچیدگی برگ انگور و تولید گیاهان عاری از ویروس را دارد (Fan *et al.*, 2015). لذا نیاز به انجام تحقیقات بیشتر جهت درک علل تنوع ژنتیکی و اثرات آن بر توانایی ویروس در آلودگی و آسیب به





شکل ۴- ماتریکس مقایسه دوه‌دو توالی‌های نوکلئوتیدی بخشی از ژن پروتئین پوششی فرعی ۲ متعلق به سه جدایه ایرانی (مستطیل قرمز رنگ) با ۴۴ جدایه منتخب از GenBank با استفاده از نرم‌افزار SDT v1.2

Figure 4- Nucleotide pairwise identity matrix of partial ORF Cpm2 sequences of three Iranian isolates (red circle) with 44 selected isolates from GenBank using SDT v1.2 software

این ویروس تنوع ژنتیکی بالایی دارند و ارتباطی بین فیلوژنتیک و منشأ جغرافیایی وجود ندارد. این تنوع می‌تواند بر سازگاری ویروس با ارقام مختلف انگور تأثیر بگذارد و نیاز به تحقیقات بیشتر برای درک بهتر آن احساس می‌شود. در نهایت، توسعه روش‌های تشخیصی و کنترلی جدید برای مدیریت GLRaV-1 ضروری است.

## نتیجه‌گیری

آلودگی به ویروس GLRaV-1 در ۲۲ نمونه آلوده دارای علائم زردی خفیف و قرمزی برگ‌ها تأیید گردید. GLRaV-1 یکی از ویروس‌های رایج در انگور است که در چندین استان ایران گزارش شده است. تحلیل تبارزایی نشان داد که جدایه‌های ایرانی و جهانی

## References

1. Aboughanem-Sabanadzovic, N., & Sabanadzovic, S. (2015). First report of grapevine leafroll-associated virus 2 infecting muscadine (*Vitis rotundifolia*) and summer grape (*Vitis aestivalis*) in the United States. *Plant Disease*, 99(1), 163-163. <https://doi.org/10.1094/PDIS-12-13-1252-PDN>
2. Aboughanem-Sabanadzovic, N., Maliogka, V., & Sabanadzovic, S. (2017). Grapevine leafroll-associated virus 4. *Grapevine Viruses: Molecular Biology, Diagnostics and Management*, 197-220. <https://doi.org/10.1007/978-3-319-57706-79>
3. Al Rwahnih, M., Alabi, O.J., Hwang, M.S., Tian, T., Mollov, D., & Golino, D. (2021). Characterization of a new nepovirus infecting grapevine. *Plant Disease*, 105(05), 1432-1439. <https://doi.org/10.1094/PDIS-08-20-1831-RE>
4. Alabi, O. J., Al Rwahnih, M., Karthikeyan, G., Poojari, S., Fuchs, M., Rowhani, A., & Naidu, R.A. (2011). Grapevine leafroll-associated virus 1 occurs as genetically diverse populations. *Phytopathology*, 101(12), 1446-

1456. <https://doi.org/10.1094/PHYTO-04-11-0114>
5. Almeida, R.P., Daane, K.M., Bell, V.A., Blaisdell, G.K., Cooper, M.L., Herrbach, E., & Pietersen, G. (2013). Ecology and management of grapevine leafroll disease. *Frontiers in Microbiology*, 4, 94. <https://doi.org/10.3389/fmicb.2013.00094>
  6. Bruissson, S., Lebel, S., Walter, B., Prevotat, L., Seddas, S., & Schellenbaum, P. (2017). Comparative detection of a large population of grapevine viruses by TaqMan® RT-qPCR and ELISA. *Journal of Virological Methods*, 240, 73-77. <https://doi.org/10.1016/j.jviromet.2016.12.003>
  7. Caruso, A.G., Bertacca, S., Ragona, A., Matic, S., Davino, S., & Panno, S. (2022). Epidemiological survey of grapevine leafroll-associated virus 1 and 3 in sicily (Italy): Genetic structure and molecular variability. *Agriculture*, 12(5), 647. <https://doi.org/10.3390/agriculture12050647>
  8. Dolja, V.V., Meng, B., & Martelli, G.P. (2017). Evolutionary aspects of grapevine virology. *Grapevine Viruses: Molecular Biology, Diagnostics and Management*, 1, 659-688. [https://doi.org/10.1007/978-3-319-57706-7\\_32](https://doi.org/10.1007/978-3-319-57706-7_32)
  9. Donda, B.P., Jarugula, S., & Naidu, R.A. (2017). An analysis of the complete genome sequence and subgenomic RNAs reveals unique features of the ampelovirus, Grapevine leafroll-associated virus 1. *Phytopathology*, 107(9), 1069-1079. <https://doi.org/10.1094/PHYTO-02-17-0061-R>
  10. Elci, E. (2019). Genomic variability and recombination analysis of grapevine leafroll-associated virus-1 isolates from Turkey. *Journal of Agricultural Sciences*, 25(3), 319-327. <https://doi.org/10.15832/ankutbd.402162>
  11. Fan, X., Hong, N., Dong, Y., Ma, Y., Zhang, Z.P., Ren, F., Hu, G., Zhou, J., & Wang, G. (2015). Genetic diversity and recombination analysis of grapevine leafroll-associated virus 1 from China. *Archives of Virology*, 160, 1669-1678. <https://doi.org/10.1007/s00705-015-2437-8>
  12. Gharouni-kardani, S., Karimi shahri, M. R., Azad disfani, F. (2022). Distribution and Phylogeny of Grapevine fanleaf virus in Vineyards of Khorasan Razavi Province Based on Coat Protein Region. *Journal of Iranian Plant Protection Research*, 35(4): 421-431. <https://doi.org/10.22067/jpp.2021.68789.1010>
  13. Gholampour, Z., & Zakiaghl, M. (2016). Comparison of RNA extraction methods for the identification of grapevine fanleaf virus. *Journal of Iranian Plant Protection*, 30(1), 127-33. <https://doi.org/10.22067/jpp.v30i1.40075>
  14. Gholampour, Z., Zakiaghl, M., Asquini, E., Moser, M., Gualandri, V., Mehrvar, M., & Si-Ammour, A. (2024). Application of high-throughput sequencing for comprehensive virome profiling in grapevines shows yellows in Iran. *Viruses*, 16(2), 204. <https://doi.org/10.3390/v16020204>
  15. Gutha, L.R., Casassa, L.F., Harbertson, J.F., & Naidu, R.A. (2010). Modulation of flavonoid biosynthetic pathway genes and anthocyanins due to virus infection in grapevine (*Vitis vinifera* L.) leaves. *BMC Plant Biology*, 10, 1-18. <https://doi.org/10.1186/1471-2229-10-187>
  16. International Committee on Taxonomy of Viruses, (2023). (ICTV): <https://ictv.global/taxonomy/>
  17. Katoh, K., Rozewicki, J., & Yamada, K.D. (2019). MAFFT online service: multiple sequence alignment, interactive sequence choice and visualization. *Briefings in Bioinformatics*, 20(4), 1160-1166. <https://doi.org/10.1093/bib/bbx108>
  18. Kumar, S., Stecher, G., & Tamura, K. (2016). MEGA7: Molecular evolutionary genetics analysis version 7.0 for bigger datasets. *Molecular Biology and Evolution*, 33(7), 1870-1874. <https://doi.org/10.1093/molbev/msw054>
  19. Mannini, F., & Digiario, M. (2017). The effects of viruses and viral diseases on grapes and wine. In: Meng, B., Martelli, G., Golino, D., Fuchs, M. (eds). *Grapevine Viruses: Molecular Biology, Diagnostics and Management*, 453-482. [https://doi.org/10.1007/978-3-319-57706-7\\_23](https://doi.org/10.1007/978-3-319-57706-7_23)
  20. Meng, B., Martelli, G.P., Golino, D.A., & Fuchs, M. (2017). *Grapevine Viruses: Molecular Biology, Diagnostics and Management*. Springer International Publishing. <https://doi.org/10.1007/978-3-319-57706-7>
  21. Muhire, B.M., Varsani, A., & Martin, D.P. (2014). SDT: A virus classification tool based on pairwise sequence alignment and identity calculation. *PloS One*, 9(9), e108277. <https://doi.org/10.1371/journal.pone.0108277>
  22. Naderpour, M., Shahbazi, R., Alizadeh, A., Karimi, S., Tabei, M., Hajizadeh, M., & Hosseinibay, K. (2018). The status of grapevine leafroll-associated viruses in Iran. In: *XXX International Horticultural Congress IHC2018: II International Symposium on Innovative Plant Protection in Horticulture 1269*. Istanbul. p. 113-118.
  23. Naidu, R.A., Rowhani, A., Fuchs, M., Golino, D., & Martelli, G.P. (2014). Grapevine leafroll: A complex viral disease affecting a high-value fruit crop. *Plant Disease*, 98(9), 1172-1185. <https://doi.org/10.1094/PDIS-08-13-0880-FE>
  24. Panno, S., Caruso, A.G., Troiano, E., Luigi, M., Manglli, A., Vatrano, T., Iacono, G., Marchione, S., Bertin, S., Tomassoli, L., Parrella, G., Davino, S. (2019). Emergence of tomato leaf curl New Delhi virus in Italy: Estimation of incidence and genetic diversity. *Plant Pathology*, 68(3), 601-608. <https://doi.org/10.1111/ppa.12978>
  25. Poojari, S., Boulé, J., DeLury, N., Lowery, D.T., Rott, M., Schmidt, A.M., & Úrbez-Torres, J.R. (2017). Epidemiology and genetic diversity of grapevine leafroll-associated viruses in British Columbia. *Plant Disease*, 101(12), 2088-2097. <https://doi.org/10.1094/PDIS-04-17-0497-RE>
  26. Porotikova, E.V., Dmitrenko, U.D., Yurchenko, E.G., & Vinogradova, S.V. (2019). First Report of Grapevine Leafroll-Associated Virus 2 in Russian Grapevines (*Vitis vinifera*). *Plant Disease*, 103(1), 164-164.

- <https://doi.org/10.1094/PDIS-05-18-0749-PDN>
27. Pourrahim, R., Ahoonmanesh, A., Farzadfar, S., Rakhshandehro, F., & Golnaraghi, A.R. (2004). Occurrence of Arabis mosaic virus and grapevine leaf roll associated virus-3 on grapevines in Iran. *Plant Disease*, 88(4), 424-424. <https://doi.org/10.1094/PDIS.2004.88.4.424A>
  28. Rakhshandehroo, F., Pourrahim, R., Zamani Zadeh, H., Rezaee, S., & Mohammadi, M. (2005). Incidence and distribution of viruses infecting Iranian vineyards. *Journal of Phytopathology*, 153(7-8), 480-484. <https://doi.org/10.1111/j.1439-0434.2005.01006.x>
  29. Rasool, S., Naz, S., Rowhani, A., Diaz-Lara, A., Golino, D.A., Farrar, K.D., & Al Rwahnih, M. (2019). Survey of grapevine pathogens in Pakistan. *Journal of Plant Pathology*, 101, 725-732. <https://doi.org/10.1007/s42161-019-00263-0>
  30. Roomi, V., Afsharifar, A., & Izadpanah, K. (2006). Identification, distribution and prevalence of grapevine leafroll associated viruses and grapevine virus A in Iran and their rate of incidence in grapevine cultivars. *Iranian Journal of Plant Pathology*, 42, 223-240. (In Persian with English abstract).
  31. Sabella, E., Pierro, R., Luvisi, A., Panattoni, A., D'Onofrio, C., Scalabrelli, G., Nutricati, E., Aprile, A., De Bellis, L., Materazzi, A. (2018). Phylogenetic analysis of viruses in Tuscan *Vitis vinifera sylvestris* (Gmel) Hegi. *PLoS One*, 13(7), e0200875. <https://doi.org/10.1371/journal.pone.0200875>
  32. Song, Y., Hanner, R.H., & Meng, B. (2021). Probing into the effects of grapevine leafroll-associated viruses on the physiology, fruit quality and gene expression of grapes. *Viruses*, 13(4), 593. <https://doi.org/10.3390/v13040593>
  33. Zongoma, A.M., Dangora, D.B., Al Rwahnih, M., Bako, S.P., Alegbejo, M.D., & Alabi, O.J. (2017). First report of grapevine leafroll-associated virus 1 infecting grapevines (*Vitis* spp.) in Nigeria. *Plant Disease*, 102(1), 258-258. <https://doi.org/10.1094/PDIS-07-17-1120-PDN>